

II-187 シルに作用する抗力について

日大・理工 正 大津岩夫
日大大学院・理工 学○山中康資

下流水深が、跳水必要水深よりも小さい場合、シル型減勢工が多く用いられている。従来、基本的形状である鉛直連続シルに作用する抗力については、二、三の研究が報告されているが^{1),2)}、シルに作用する圧力分布形状、抗力の大きさ等不明な点が多いため。ここでは、シルに作用する抗力を実験によって求め、さらに、従来の各研究者によって発表されたすべての実験値を含めて、I型跳水(シル前方の流況が下流水深の影響を受ける場合)³⁾のシルに作用する抗力特性を検討した。

図-1で示されるような水平水路に、長方形鉛直連続シル(シル高S = 2.0cm, 3.0cm, 4.5cm, 6.0cm)を設置し、シル前後面の圧力取出し孔にマノメーターを接続し、圧力を測定した。なお、前後面の圧力差の分布形状の一例を図-2に示す。

水路床から高さYの位置において、シルへ接近する流れの流速をU、シル前面に作用する動圧を $\rho U^2/2$ とし、I型跳水の場合、シル前面に作用する静圧の合計とシル後面に作用する圧力の合計とは等しいものとして、実験係数Cを含めて抗力Pを次のように表示する。

$$P = C \int_0^S (\rho U^2/2) dy \quad (1)$$

シル前方の各断面における主流の流速分布を式(2)の関係で整理すると、0.1~0.2 ≤ x/L_s ≤ 0.6~0.7の範囲では、F_i、xに無関係に相似な分布になることが認められている。³⁾

$$U/U_m = f(\eta), \quad \eta = y/Y \quad (2)$$

式(1)を式(2)を用いて無次元化すると、

$$P/(\rho U_m^2/2) \cdot Y = C \int_0^{S/Y} (U/U_m)^2 d\eta \quad (3)$$

さらに、 $x = x_s$ におけるYの値をY_sとして式(3)を変形すると式(4)が得られる。ただし、C = f(S/Y_s)と考えられる。³⁾

$$P/(\rho U_m^2/2) \cdot Y_s = C \int_0^{S/Y_s} (U/U_m)^2 d\eta = f(S/Y_s) \quad (4)$$

また、U_m、Y_sについては、シル前方において、0.1~0.2 ≤ x_s/L_s ≤ 0.6~0.7の範囲で式(5)、式(6)が近似的に成立する。³⁾

$$U_m/v_i = (0.175 F_i + 1.57) / \sqrt{x_s/h_i} \quad 3 \leq F_i \leq 9.5 \quad (5)$$

$$Y_s/h_i = (0.370 / \sqrt{F_i}) \cdot x_s/h_i \quad 3 \leq F_i \leq 9.5 \quad (6)$$

式(5)、式(6)を式(4)に代入すると、式(7)が得られる。

$$P/(w h_i^2/2) = [0.370 F_i^{3/2} (0.175 F_i + 1.57)^2] \cdot f(S/Y_s) \quad (7)$$

また、従来用いられている抗力係数は、 $C_d = P/(\rho U_m^2/2) \cdot S = P/(w h_i F_i^2 S/2)$ であるから、式(7)より次式が得られる。

$$P/(w h_i^2/2) = C_d F_i^2 (S/h_i) = [0.370 F_i^{3/2} (0.175 F_i + 1.57)^2] \cdot f(S/Y_s) \quad (8)$$

さらに、式(8)を変形すると、 $f(S/Y_s) = [C_d F_i^2 (S/h_i)] / [0.370 F_i^{3/2} (0.175 F_i + 1.57)^2] = P/(\rho U_m^2/2) \cdot Y_s$

$$\text{あるいは}, f([C_d F_i^2 (S/h_i)] / [0.370 F_i^{3/2} (0.175 F_i + 1.57)^2], S/Y_s) = 0 \quad (10)$$

式(10)の関係で実験値を整理すると、図-3のように良い相関が得られ、実験式(式(11))が得られる。

$$[C_d F_i^{3/2} (S/h_i)] / [0.370 (0.175 F_i + 1.57)^2] = 1.501 (S/Y_s)^{1.930} \quad (11)$$

$$(x_s/L_s)_{min} \leq x_s/L_s \leq 0.6 \sim 0.7$$

なお、Rajaratnam¹⁾、Narayanan²⁾の実験値を式(10)の関係に基づき整理し、式(11)と比較すると図-4のよう示される。これより、Rajaratnamの1inchシル^{*}を除いてすべての実験値は、式(11)をほぼ満足していることが認められる。

また、式(11)から式(12)が得られ、図-5、図-6の実線のように示される。

$$C_d = 1.501 (S/Y_s)^{1.930} [0.370 (0.175 F_i + 1.57)^2 / (F_i^{1/2}) (S/h_i)] = 3.784 [(S/h_i F_i^{1/2})^{0.930} \cdot (0.175 F_i + 1.57)^2] / (x_s/h_i)^{1.930} \quad (12)$$

$$(x_s/L_s)_{min} \leq x_s/L_s \leq 0.6 \sim 0.7$$

* Rajaratnamの実験値の内、1inchシルの実験値のみは、今回の実験値およびNarayananの実験値と大きく異なるため、測定上の問題があると想われる。

なお、図-5、図-6の破線は、I型跳水とII型跳水の境界^{**}を示し、一点鎖線は、I型跳水とSprayの境界^{***}を示す。

最後に、本研究を行うにあたりて、ご指導戴いている栗津清蔵教授に感謝申し上げます。

^{**}ある F_1 、 $\frac{S}{h_1}$ におけるI型跳水の最大シル高を与える式³⁾ $S_{h_1} = -1.05(F_1 - 2)(1 - \frac{S}{h_1}) + 1.08F_1 - 1.56$ 、 $\frac{S}{h_1} \leq (\frac{S}{h_1})_c$ を式(12)に代入すれば得られる。

^{***}I型跳水とSprayの境界を示す式⁴⁾ $hs/h_1 = h_2/h_1 - (\frac{S}{h_1})^{1.89}$ とI型跳水と水煙間の境界式³⁾ $hs/h_1 = h_2/h_1 - 1.90F_1(h_2/h_1)[(S/h_1)/(h_2/h_1)^{1.2}/L_j(S/h_1)]^2$ において、

$h_2/h_1 = h_2/h_1$ とすると次式が得られる。 $S_{h_1} = [1.90F_1/(h_2/h_1)(5.5^2(\frac{S}{h_1})^2)]^{-1/6.11}$ 、 $\frac{S}{h_1} \leq (\frac{S}{h_1})_c$ 式(12)に代入すれば得られる。

(記号) F_1 : 跳水始端のフルード数 h_1 : 下流水深 L_j : 跳水始端からシルまでの長さ P : シル(単位幅)に作用する抗力 U_m : 方向の最大流速 Y : $U_m = \frac{U_m}{2}(du/dy < 0)$ なる場合

$h_2 = \text{跳水始端水深 } h_1 + \text{跳水始端の高さ } P$ 、 ρ : 水の密度 g : 重力加速度 $\frac{S}{h_1} = ((8F_1^2 + 1)/2)^{1/2}$ 、 $L_j = 5.5h_2$ ($F_1 \geq 3.5$)、 $W = \rho g$

(参考文献) 1) Rajaratnam & Murahari "A CONTRIBUTION TO FORCED HYDRAULIC JUMPS", Journal of Hy. Res. 1971.9 No.2 2) Narayanan & Schlier "FORCE ON SILL OF FORCED JUMP", A.S.C.E. Hy. July. 1980 3) 大津甚夫"急流シルによる強制跳水", 土木学会関東支部研究発表会第31号, 1981.7 4) 大津・

山中"シル型減勢工の水理計算例", 土木学会関東支部研究発表会第Ⅱ, 1983.1

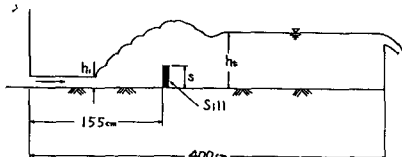


図-1

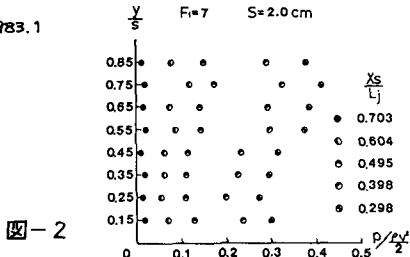


図-2

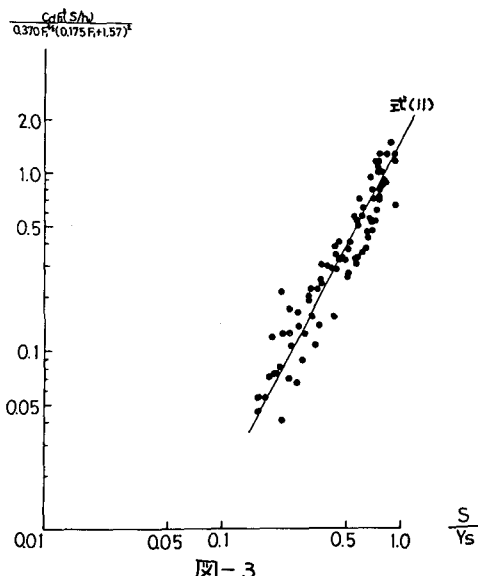


図-3

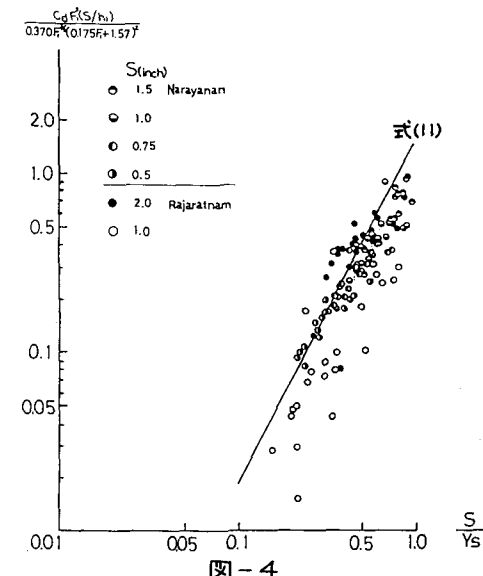


図-4

